

تعیین ژنوتایپ غالب *Helicobacter pylori* در بیماران مبتلا به زخم های دستگاه گوارش فوکانی در شهرستان تنکابن

مرضیه دلیرکوهی^۱، مهدی آسمار^{*۲}، نورامیر مظفری^۳

۱- دانشگاه آزاد اسلامی واحد لاهیجان، دانشکده علوم پایه، گروه میکروبیولوژی، لاهیجان، ایران، صندوق پستی: ۱۶۱۶

۲- انستیتو پاستور ایران، گروه انگل شناسی، تهران، ایران، صندوق پستی: ۱۳۱۶۹۴۳۵۵۱

۳- دانشگاه علوم پزشکی و خدمات بهداشتی-درمانی ایران، گروه میکروبیولوژی، تهران، ایران.

mehdiassmar@yahoo.com

چکیده

در موکوس معده کلونیزه می شود و انواعی از تظاهرات بالینی در دستگاه گوارشی فوکانی ایجاد می کند، نتایج بالینی عفونت *Helicobacter pylori* ممکن است در ارتباط با وجود یا عدم وجود ژن cagA یا iceA باشد. به منظور بررسی وجود ژن cagA و iceA در سویه های *Helicobacter pylori* مرتبط با گاستریت، زخم معده و زخم اثنی عشر، ۸۰ نمونه بیوپسی از بیماران آلوده به *Helicobacter pylori* تهیه گردید. برای نمونه های بیوپسی تست اوره آز گذاشته شد که از ۲۵ بیمار جداسازی شد نمونه ها در فریزر ۲۰- نگهداری شد، بعد از استخراج DNA حضور ژن های cagA و iceA با روش Allelic specific PCR بررسی شد. از میان نمونه های مورد بررسی ۲۵ مورد هلیکوباکترپیلوری جداسازی شده پس از انجام PCR فراوانی ژن iceA در سویه های مرتبط با گاستریت، زخم معده و زخم اثنی عشر به ترتیب برابر بود با٪ ۲۵، ۵۰٪، ۲۵٪ و ۲۵٪. آلل ۱ iceA با٪ ۷۵ دارای بیشترین فراوانی بود. فراوانی ژن cagA در سویه های مرتبط با گاستریت، زخم معده و زخم اثنی عشر به ترتیب برابر بود با٪ ۱۶/۱۶، ۵۰٪، ۳۶/۳۶٪/ن بود. با توجه به نتایج این مطالعات می توان استنباط نمود که وجود ژن cagA در سویه های *Helicobacter pylori* می تواند منجر به نوع شدید بیماری از جمله زخم های پیتیک گردد، اما در مجموع نمی توان ژنی از این باکتری را به عنوان شاخص برای تعیین سرانجام بالینی عفونت با *Helicobacter pylori* پیشنهاد نمود و اختلاف بروز ژن iceA در مطالعه و نیز اختلاف نوع ژن در فرم های بالینی در کشورهای مختلف را می توان به انتشار جغرافیایی مرتبط دانست.

کلمات کلیدی: تنکابن، *Helicobacter pylori*، ژن cagA، ژن iceA، زخم پیتیک.

آلودگی با سویه های *cagA* مثبت، به عنوان مارکری همراهی با زخم های معده، اثی عشر و سرطان معده دیده شده است اما در کشورهای آسیایی چون اکثر افراد آلوده شده با *Helicobacter pylori* سویه های *cagA* مثبت هستند همراهی و ارتباط میان سویه های *cagA* مثبت و عواقب بیماری مشخص نمی باشد (۲۱). اما ژن *iceA* اخیراً به عنوان یک شاخص ژنتیکی برای پیش‌رفت و تکامل بیماری زخم اثی عشر در شرق شناخته شده است. این ژن توسعه *Peek* و همکارانش معرفی شد (۲۴). *iceA*₁ دارای دوالل *iceA*₁ و *iceA*₂ می باشد. آلل *iceA*₁ پروتئین مشابه آنزیم اندونوکلئاز *Neisseria lactamica* در *nlaIIIR* را کد می کند و آller *iceA*₂ پروتئین با ۵۹ اسید آمینه را کد می کند و به *iceA*₁ وابسته نیست (۷)، بیان یکی از این دو به شیوع جغرافیایی بستگی دارد (۵ و ۸). در این مطالعه وجود ژن *cagA* و *iceA* در سویه های *Helicobacter pylori* مرتبط با بیماری های گاستریت و زخم های پپتیکی مطالعه شد. با توجه به اینکه در شهرستان تنکابن هیچگونه مطالعه ای مولکولی مبنی بر تعیین ژنوتاپ این باکتری انجام نشده است لذا من بر آن شدم با تعیین ژنوتاپ غالب باکتری مزبور شناسنامه ژنتیکی این باکتری را مشخص نمایم تا بر اساس نتایج حاصله بتوان در آینده گامهای مؤثری را در پیشگیری از این بیماری برداشت.

مقدمه

Helicobacter pylori یک باکتری مارپیچی است که در مخاط معده و اثی عشر زیست می کند. این باکتری در ایجاد التهاب معده و اثی عشر و شکل گیری زخم های پپتیک دخالت دارد (۲۲ و ۲۶). بر اساس نتایج مطالعات مختلف می توان گفت که فاکتورهای محیطی، خصوصیات ژنتیکی میزبان و فاکتورهای بیماریزایی باکتری در نتیجه نهایی بیماران ممکن است سهیم باشند (۹ و ۲۲).

از جمله عواملی که بیشتر مورد توجه قرار گرفته است فاکتورهایی بیماریزایی نظیر فلاژل، ادھسین، سیتو توکسین و اکوئل زا و ... می باشند که اصلی ترین آنها ژنهای *cagA* و *iceA* می باشد (۹ و ۲۴). یکی از عملکردهای مهم عناصر کدشونده توسط جزیره پاتوژنیسته *cag*، فعال کردن و تحریک واکنش های ایمنی می باشد که از آن جمله می توان به فعال شدن فاکتورهای رونویسی از قبیل *NFkB*, *AP-1*^۳ اشاره نمود. فعال شدن این فاکتورهای رونویسی باعث بیان ژن های متعددی شامل ژن های سرطانز، ژن های کد کننده کموکاین ها و نیز ژن های فعال کننده چرخه های آنتی آپوپتوزیس می گردند (۱۴، ۱۸، ۱۹ و ۲۰). برخی از ژن های *cag*, پروتئین های مربوط به سیستم های ترشحی را کد می کنند (۲۳، ۲۵ و ۲۸). یکی از ژن های مربوط به این جزیره *cagA+* می باشد.

عفونت با سویه های حاوی ژن *cagA* با بیماری زخم معده، گاستریت آتروفیک و سرطان معده مرتبط می باشد. مطالعات اخیر نشان داده اند که *cagA* از بیش از ۳۰ ژن تشکیل شده است و اهمیت محصولات این ژن ها در تحریک پاسخ های کموکین اپتیلیوم معده به اثبات رسیده است (۱۷). در کشورهای غربی

جهت استخراج DNA از کیت استفاده شد High pure PCR Template preparation kit که از شرکت دید تازه در ایران خریداری شد. پس از استخراج DNA هر نمونه تا انجام PCR در دمای ۲۰°C-نگهداری گردید. توالی پرایمرهای اختصاصی جهت تکثیر بخشی از قطعه ژن cagA و iceA₁ و iceA₂ که در مطالعات قبلی طراحی گردیده است در جدول ۱ آمده است. رفرنس مقالاتی که این پرایمرها از آن استخراج شده در جدول آمده است.

مواد و روش‌ها

در این مطالعه ۸۰ نمونه بیوپسی از بیماران با مشکلات فوقانی دستگاه گوارش توسط پزشک متخصص بخش اندوسکوپی بیمارستان شهید رجایی تنکابن تهیه گردید. روی نمونه‌های بیوپسی تست اوره آز انجام شد. نمونه‌های بیوپسی اوره آز مثبت داخل ویال‌های کوچک حاوی سرم فیزیولوژی در فریزر ۲۰°C-جهت استخراج DNA و انجام کارهای مولکولی نگهداری شدند.

جدول ۱: پرایمرهای مورد استفاده و سکوانس آنها

پرایمر	سکوانس ۵' → ۳'	PCR محصول	رفرنس
iceA	GATCATGGCCTACAACCGCATGGA GGGTGCGATTGCGTGGCGATG	۹۷۴	۳۱
iceA ₁	CTATAGCCAGTCTCTTGCA GTGTTTTAACCAAAGTATC	۲۴۶	۴
iceA ₂	GTTGGGTATATCACAAATTAT TTGCCCTATTTCTAGTAGGT	۳۳۴	۴
CagA	GATCTCGGTGGGTCTTTC TCTTTACGGCATTGTTCA	۵۰۶	۱۱

جهت تکثیر قطعه مورد نظر از ژن، از مواد زیراستفاده گردید.

جدول ۲: مواد مورد استفاده جهت تکثیر قطعه مورد نظر از ژن

PCR buffer	2.5 μ
Mgcl ₂	2.5μ
Primer F	2μ
Primer R	2μ
dNTP	2μ
Tag DNA polymerase	2μ
DNA	1μ

تکثیر قطعه مورد نظر در دستگاه ترموسایکلر طبق برنامه زیر انجام گردید.

جدول ۳: برنامه ژن PCR cagA

Cycle	Time (min)	temperature	Definition	Step	program
1	8	94	Heat start	۱	Prog.1
40	1	94	Denaturation	1	Prog.2
40	1	57	Annaling	2	
40	1	72	Extension	3	
1	7	72	Final extension	1	Prog.3

جدول ۴: برنامه ژن PCR iceA

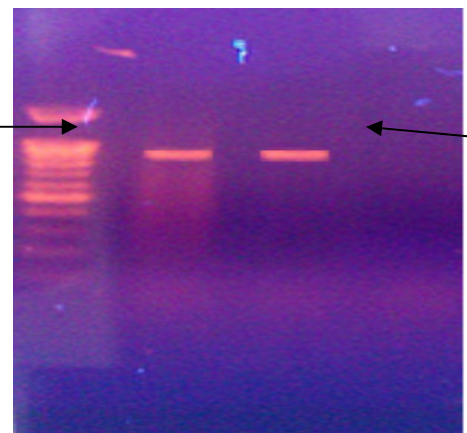
Cycle	Time (min)	temperature	Definition	Step	program
1	5	94	Heat start	۱	Prog.1
35	1	94	Denaturation	1	Prog.2
35	1	57	Annaling	2	
35	2	72	Extension	3	
1	5	72	Final extension	1	Prog.3

جدول ۵: برنامه ژن PCR iceA₁ و iceA₂

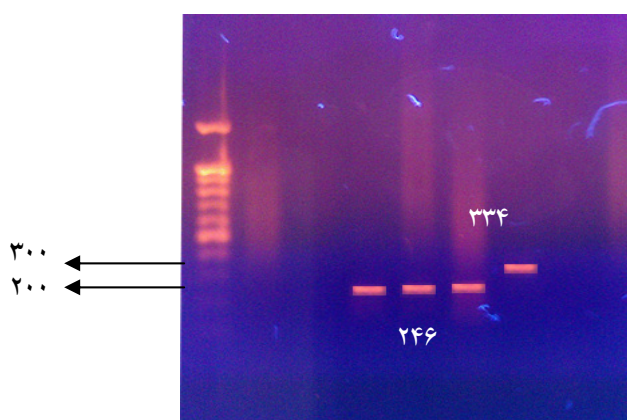
Cycle	Time (min)	temperature	Definition	Step	program
1	5	94	Heat start	۱	Prog.1
35	1	94	Denaturation	1	Prog.2
35	1	57	Annaling	2	
35	1	72	Extension	3	
1	5	72	Final extension	1	Prog.3

لومیناتور مشاهده گردید. برای انجام الکتروفورز از ولتاژ ۷۰ با مدت زمان ۵۵ دقیقه استفاده کردیم.

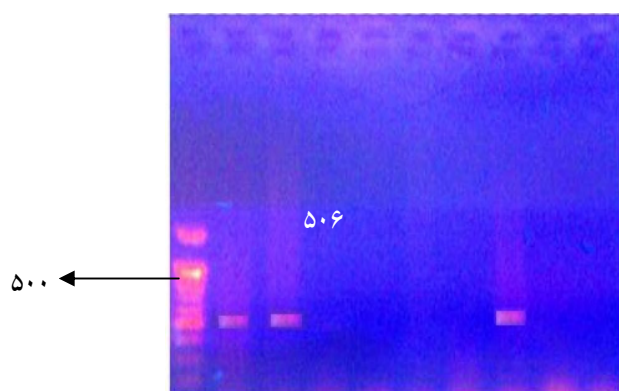
محصول به دست آمده از PCR در ژل ۱ درصد آگارز رنگ آمیزی شده با اتیدیوم بروماید الکتروفورز گردید و سپس باندها با استفاده از UV ترانس



شکل ۱: تصویر ژل الکتروفورز محصول PCR مربوط به قطعه ۹۷۴ جفت بازی ژن *iceA*



شکل ۲: تصویر ژل الکتروفورز محصول PCR مربوط به قطعه ۲۴۶ جفت بازی ژن *iceA₁* و ۳۳۴ جفت بازی ژن *iceA₂*



شکل ۳: تصویر ژل الکتروفورز محصول PCR مربوط به قطعه ۵۰۶ جفت بازی ژن *cagA*

واجد این ژن ها در نظر گرفته شدند. در کل در میان ۲۵ مورد سویه اوره آز مثبت که PCR شدند ۴ مورد مثبت که از این ۴ مورد iceA₁(٪/۱۶) بودند و ۹ مورد iceA₁(٪/۷۵) و ۱۰ مورد iceA₂(٪/۲۵) بودند. در این بررسی مشخص شد CagA(٪/۳۶) مثبت شدند. در این بررسی مشخص شد که فراوانی iceA از cagA بیشتر است. فراوانی این ژن ها در سویه های مرتبط با هر گروه در جدول زیر نشان داده شده است.

نتایج

از ۸۰ نمونه بیوپسی، ۲۵ مورد مثبت به دست آمد که ۸ نمونه مربوط به افراد مبتلا به گاستریت، ۷ نمونه مربوط به افراد مبتلا به زخم اثنی عشر و ۱۰ نمونه PCR مربوط به افراد مبتلا به زخم معده بود. بعد از باندهای به دست آمده با اندازه ۹۷۴ جفت باز به عنوان قطعه مورد نظر از ژن ۱۴۶ iceA باز از ژن ۳۳۴ iceA₂ و ۵۰۶ iceA₁ جفت باز از ژن CagA در نظر گرفته شدند و به عنوان سویه های

جدول ۶: میزان iceA₁، iceA₂ و CagA در سویه های جدا شده از ۳ گروه مختلف از بیماران مورد مطالعه فراوانی ژن

IceA ₂				iceA ₁				CagA				نوع ژن		
درصد	-	+	تعداد کل مثبت iceA	درصد	-	+	تعداد کل مثبت iceA	درصد	-	+	تعداد کل	فراوانی	نوع بیماری	
۰	۱	۰	۱	۱۰۰	۰	۱	۱	۳۶/۳۶	۷	۴	۱۱	گاستریت (Gast)		
۰	۱	۰	۱	۱۰۰	۰	۱	۱	۱۶/۶۶	۵	۱	۶	زخم اثنی عشر (DU)		
۵۰	۱	۱	۲	۵۰	۱	۱	۲	۵۰	۴	۴	۸	زخم معده (GU)		

آن در جداول زیر آورده شده است:

ما فراوانی این ژنها را بر حسب گروه سنی - جنس -

محل سکونت و... هم بررسی کردیم که نتایج آماری

جدول ۷: میزان فراوانی ژن cagA در بیماران مبتلا به زخمهای گاسترودثوندال در شهرستان تکابن بر حسب جنس و نوع بیماری

جمع				زن				مرد				جنس	
درصد	cagA -	cagA +	تعداد	درصد	cagA -	cagA +	تعداد	درصد	cagA -	cagA +	تعداد	فراوانی	نوع بیماری
۳۶/۳۶	۷	۴	۱۱	۰	۳	۰	۳	۵۰	۴	۴	۸	گاستریت (Gast)	
۱۶/۶۶	۵	۱	۶	۳۳/۳۳	۲	۱	۳	۰	۳	-	۳	زخم اثنی عشر (DU)	
۵۰	۴	۴	۸	۲۰	۴	۱	۵	۱۰۰	-	۳	۳	زخم معده (GU)	

جدول ۸: فراوانی ژن cagA در بیماران مبتلا به زخم‌های گاسترودئودنال بر حسب محل سکونت

جمع				روستا				شهر				محل سکونت	
درصد	-	+	تعداد	درصد	-	+	تعداد	درصد	-	+	تعداد	فراوانی نوع بیماری	
۵۰	۴	۴	۸	۳۳/۳۳	۲	۱	۳	۶۰	۲	۳	۵	GU	
۳۳/۳۳	۴	۲	۶	۵۰	۱	۱	۲	۲۵	۳	۱	۴	DU	
۳۶/۳۶	۷	۴	۱۱	۰	۲	-	۲	۴۴/۴۴	۵	۴	۹	Gast	

جدول ۹: میزان فراوانی ژن iceA در بیماران مبتلا به زخم‌های گاسترودئودنال در شهرستان تنکابن بر حسب جنس و نوع بیماری

جمع				زن				مرد				جنس	
درصد	-cagA	+cagA	تعداد	درصد	-cagA	+cagA	تعداد	درصد	-cagA	+cagA	تعداد	فراوانی نوع بیماری	
۱۸/۱۸	۹	۲	۱۱	۰	۳	۰	۳	۲۵	۶	۲	۸	گاستریت (Gast)	
۰	۶	۰	۶	۰	۳	۰	۳	۰	۳	۰	۳	زخم اثی عشر (DU)	
۲۵	۶	۲	۸	۲۰	۴	۱	۵	۳۳/۳۳	۲	۱	۳	زخم معده (GU)	

جدول ۱۰: فراوانی ژن iceA در بیماران مبتلا به زخم‌های گاسترودئودنال بر حسب محل سکونت

جمع				روستا				شهر				محل سکونت	
درصد	-	+	تعداد	درصد	-	+	تعداد	درصد	-	+	تعداد	فراوانی نوع بیماری	
۱۸/۱۸	۹	۲	۱۱	۰	۲	۰	۲	۲۲/۲۲	۷	۲	۹	گاستریت	
۲۵	۶	۲	۸	۳۳/۳۳	۲	۱	۳	۲۰	۴	۱	۵	GU	
۰	۶	۰	۶	۰	۲	۰	۲	۰	۴	۰	۴	DU	

جدول ۱۱: میزان فراوانی ژن iceA_1 و iceA_2 در بیماران مبتلا به زخم‌های گاسترودئودنال در شهرستان تنکابن
بر حسب نوع ژن و نوع بیماری

iceA ₂				iceA ₁				ژن
درصد	-	+	تعداد	درصد	-	+	تعداد	فراوانی نوع بیماری
۵۰	۱	۱	۲	۵۰	۱	۱	۲	گاستریت (Gast)
۰	۰	۰	۰	۰	۰	۰	۰	زخم اثنی عشر (DU)
۰	۲	۰	۲	۱۰۰	۰	۲	۲	زخم معده (GU)

جدول ۱۲: مقایسه فراوانی ژن iceA و cagA در بیماران مبتلا به زخم‌های گاسترودئودنال بر حسب گروه سنی

iceA				cagA				ژن
درصد	-	+	تعداد	درصد	-	+	تعداد	فراوانی نوع بیماری
۰	۷	-	۷	۲۸/۵۷	۵	۲	۷	۱۴-۳۵
۱۶/۶۶	۱۰	۲	۱۲	۴۱/۶۶	۷	۵	۱۲	۳۶-۵۷
۳۳/۲۲۳	۴	۲	۶	۳۳/۲۲۳	۴	۲	۶	۵۸-۷۹

جدول ۱۳: میزان فراوانی ژن iceA_1 و iceA_2 و cagA در سویه‌های جدا شده از ۳ گروه مختلف از بیماران مورد مطالعه

جمع			روستا			شهر			ژن			
درصد	-	+	تعداد	درصد	-	+	تعداد	درصد	-	+	تعداد	فراوانی نوع بیماری
۰	۱	۰	۱	۱۰۰	۰	۱	۱	۳۶/۳۶	۷	۴	۱۱	گاستریت (Gast)
۰	۱	۰	۱	۱۰۰	۰	۱	۱	۱۶/۶۶	۵	۱	۶	زخم اثنی عشر (DU)
۵۰	۱	۱	۲	۵۰	۱	۱	۲	۵۰	۴	۴	۸	زخم معده (GU)

از کشورهای مختلف متفاوت می‌باشد. Raymond و همکاران در آمریکا گزارش کردند که فقط ۶۶ درصد از سویه‌های *Helicobacter pylori* حامل ژن CagA می‌باشند (۲۶). در مطالعه دیگری که در سال ۲۰۰۵ در کشور برباد توسط Luciane و همکاران صورت گرفت میزان فراوانی ژن CagA در سویه‌های

همانطور که در نتایج اشاره شد از ۲۵ نمونه اوره آز مثبت، ۴ مورد (۱۶ درصد) حاوی ژن iceA که از این iceA_1 ۳ نمونه، iceA_2 ۴ مورد، iceA_1 مثبت (۷۵ درصد) و ۱ مورد iceA_2 مثبت (۲۵ درصد) بودند و ۹ مورد (۳۶ درصد) حاوی ژن CagA بودند اما این میزان با فراوانی این ژن‌ها در سویه‌های *Helicobacter pylori* جدا شده

بحث

جداسازی شد ۶۷٪ و در ایالات متحده iceA₁ غالب با ۷۵٪ iceA₂ با ۷۵٪ غالب است (۳۳). کلاً در آسیا به دلیل انتشار جغرافیایی یا فاکتورهای دیگر iceA₁ غالب تر است.

در مطالعه ما مثل مطالعات افراد دیگر که ذکر کردیم فراوانی cagA از iceA بیشتر بود. مثلاً میزان cagA ۳۶٪ بود که بطور حدودی با مطالعه ای که Luciane و همکاران او در برزیل انجام دادند و فراوانی cagA را ۴۸٪ بدست آوردهند مشابه است. اما فراوانی iceA ما ۱۶٪ شد یعنی فقط ۴ نمونه مثبت بدست آوردهیم که این نتیجه با نتایج افراد دیگر همسو نیست این آزمایش چندین بار صورت گرفت و هر بار همین تعداد مثبت بدست آمد که دلایلی از قبیل ژنتیک، انتشار جغرافیایی، نوع غذا و ... می تواند نقش داشته باشد. اینکه نقش غذا به چه صورت است نظر به عادت غذایی خاص مناطق شمال و شیوع زیاد این میکروب در این مناطق می توان گفت شاید سویه های جدیدتری از این میکروب با ژنهای بیماریزاوی دیگری در این مناطق شایع باشد. اما از این ۴ نمونه iceA مثبت ۳ مورد آن آلل iceA₁ را داشتند که نشان می دهد در مطالعه ما مثل مطالعه خانم توحیدی، دکتر شیرازی و ... iceA₁ غالب بوده است.

سپاسگزاری

بدینوسیله از کلیه کسانی که در اجرای این تحقیق ما را یاری نمودند نهایت تشکر را داریم.

۴۸ درصد گزارش شده است *Helicobacter pylori* (۱۵).

Janchang ژن CagA و همکارانش نشان دادند که فراوانی *Helicobacter pylori* در سویه های Aydin ۹۳/۹ درصد می باشد (۱۳). در مطالعه دیگری که توسط CagA در سویه های گرفته است میزان فراوانی ژن CagA در سویه های جدا شده از مبتلایان به زخم های پیتیک را ۷۳/۳ درصد و در بیماران مبتلا به NUD را ۴۷٪ گزارش کردند (۶). در مطالعه ای که دکتر محمد حسین شیرازی در سال ۸۵ در ایران در بیمارستان شریعتی انجام دادند ۶۴/۷ درصد سویه های جدا شده از بیماران مبتلا به NUD حاوی ژن CagA بودند (۲).

در مطالعه دیگری که توسط Arents و همکاران در کشور هلند به دست آمده فراوانی CagA در بیماری زخم معده نسبت به بیماری های دیگر غالباً بوده است (۳).

ژن iceA₁ و VanDoorn توسط iceA و همکاران وی در هلند مورد مطالعه قرار گرفت و پس از بررسی روی ۹۴ نمونه ارتباط آلل iceA₁ و زخم معده گزارش گردید (۳۱).

اما در مطالعات انجام شده در آمریکا، ژاپن، کره، کلمبیا و آلمان ارتباطی بین ژنوتایپ iceA₁ و نتایج بالینی بیماری مشاهده نشد (۱۰، ۲۷، ۳۰ و ۳۲).

در مطالعه ای که توسط فاطمه توحیدی در بابل صورت گرفت در نهایت آلل iceA₁ با فراوانی ۷۰٪ آلل غالب شناخته شد (۱).

در مطالعه ای که Hwai-Jenglin در تایوان انجام دادند متوجه شدند که آلل iceA₁ غالباً است (۱۲). در آلل هایی که از بیماران در ژاپن و کره

9. Covacci, A.; Gensini, S. and Bagnoli, M., 1993. Molecular characterization of the 128- KDa immunodominant antigen of *Helicobacter pylori* associated with cytotoxicity and duodenal ulcer. *Proc Natl Acad Sci USA*; 90: 5791-5795.
10. Covacci, A.; Telford, J.L. and Del Giudice, G., 1999. *Helicobacter pylori* virulence and genetic geography. 284: 1328-1333.
11. Gregory, G.S.; Dee, S. and Robert, K., 1997. PCR- RFLP typing *Helicobacter pylori* isolated from gastric biopsies during a European multi country clinical trial. *J Antimicrob chem*. 40: 251-256.
12. Hwai-Jeng lin.; chin – lin pemg. and wen-chinglo., 2004. *Helicobacter pylori* cagA, ice A and vac A genotypes in patients with gastric cancer in Taiwan. *Word J Gastro enterol*; 10(17): 2493-2497.
13. Jianchang, Z. ; Jianzhong, Z. and Capiu, X., 2004. Cag A genotype and variants in Chinese *Helicobacter pylori* strains and relationship to gastroduodenal disease. *J Med Mirobiol*; 53: 231-235.
14. Keates, S.; Keates, A.C. and Wamy, M., 1999. Differential activation of mitogen-activated protein kinases in AGS tastric epithelial cells by cag + and cag - *Helicobacter pylori*. *J Immunol*, 163: 5552-5559.
15. Luciano, L.G.; Elen kris, F.S. and Ka tia, R.L., 2005. CagA, vacA alleles and bab2 genotypes of *Helicobacter pylori* associated with gastric disease in Brazillian adult patients. *Diag Mirobiol Inf Dis*; 51: 231-235.
16. Marshall, B.J. and Warren, J.R.; 1984. Unidentified curved bacilli in the stomach of patients with gastritis and peptic ulceration. *Lancet*; 1: 1311-1315.
17. Marshall, B.; Warren, J.R. and Francis, G.J., Rapid urease test in the management of *campylobacter pylori* associated gastritis. *American Journal of Gastroenterology*; 82: 200-21.

منابع

1. توحیدی، ف.، ۱۳۸۶. تعیین ژنوتایپ های cagA و iceA هلیکوباتر پیلوئی در بیماران مبتلا به زخم های گاستروودنال در مراجعین به بیمارستان شهید بهشتی بابل. پایان نامه‌رشته میکروب شناسی مقطع کارشناسی ارشد دانشگاه آزاد اسلامی واحد لاهیجان.
2. شیرازی، م.; قاسمی، ا. و خرمی زاد، م.، ۱۳۸۵. بررسی وجود ژن cagA در بیماران با دیس پیسی، زخم پیتیک و سرطان معده به روش PCR. *محله علمی دانشگاه علوم پزشکی ایلام شماره ۱۴ - سال سوم*، صفحه ۵۳-۵۹.
3. Arents, N.L.; Vanzwet, A. and Thijssjc, 2001. The importance of vacA, cag A and iceA genotype of *Helicobacter pylori* infection in peptic ulcer disease and gastroesophageal reflux disease. *The Am J Gastroentero*; 96(9): 2606-2608.
4. Ashoor, A.; Colares, G.B. and Mendeze, N., 2001. IceA genotypes of *Helicobacter pylori* strains isolated from brazilian children and adults. *J Clin microbiology*; 39 (6): 1746-1750
5. Atherton, J.C. and Peek, R.M., 2002. Mosaicism in vacuolating cytotoxin alleles of *Helicobacter pylori*. *J Biol chem*, 270: 17771-17777.
6. Aydin, F.; Kaklikaya, N. and Ozguro, 2004. Distribution of VacA alleles and cag A status of *Helicobacter pylori* in peptic ulcer disease and non- ulcer dyspepsia. *Clin Micobiol InF*; 10: 12-18.
7. Bitten court, P.F.; Rocha, G.A. and Penna F.J., 2006. Gastroduodenal peptic ulcer and *Helicobacter pylori* infection in children and adolescents. *J pediatr*; 82(5): 3 325-340.
8. Ceufiyueiredo, M.; Quint, W.G.V.; Sanna, R.; Sablon, E.; Peek, R.M. and Vandoornlj, 2000. Genetic organization and heterogenexity of the iceA locus of *Helicobacter pylori*. *Gene*, 246: 58-59.

18. Maeda, S.; Yoshida, H. and Ogura, K., 2000. *H. pylori* activates NFKB through a signaling pathway involving I kB kinase, NFkB- inducing kinase, TRAF2, and TRAF 6 in gastric cancer cells Gastroenterology, 119: 97-108.
19. Meyer- ter – vahn, T.; Covacci, A. and Kist, M., 2000. *Helicobacter pylori* activates mitogen- adivated protein kinase cascades and induced expression of the proto- on congene C- fos and c – jun .J BNiol chem. 270 16064-16072.
20. Mitsuno, Y.; Yoshida, H. and Maeda, S., 2001. *Helicobacter pylori* induced transactivation of SRE and AP-1 through the ERK signaling pathway in gasric cancer cells. Gut; 49: 18-22.
21. Mohamed, R.; Ahmad, A. and Hana, 2005. Cag A gene variants in Malaysian *Helicobacter pylori* strains isolated from patients of difrent ethnic groups. FEMS Immunology and Medical Microbiology, 44: 239-242.
22. Nomura, A.; Stemmermann, G.N. and Chyou, P.H., 1991. *Helicobacter pylori* infection and gastric carcinoma among Japanese Americans in Hawaii. N Engl J Med; 325: 1132-1136.
23. Odenbreit, S.; Puls, J. and Sedimaier, B., 2000. Translocation of *Helicobacter pylori* cag A into gastric epithelial cells by type IV secretion. Science; 287: 1497-500.
24. Peek, J.R. and Slaser, M., 2002. *Helicobacter pylori* and gastrointestinal tract adenocarcinomas, Nat Rev cancer; 2: 28-37.
25. Queiroz, D.M.; Mendes, E.N. and Carvalho A.S.T., 2000. Factors associated with *Helicobacter Pylori* infection by a cag A – positive strain in children- J infect Dis; 181: 626-630.
26. Raymond, P.P.; Diane, S. and Wuerth, A., 2003. Analysis of the vac A, cag A, cag E, ice A and bab2 and gene in *Helicobacter pylori* from sixty – one pediatric patients from the Midwestern united states; 46: 83- 88.
27. Rugge, M.; Busatto, G. and Gassaro, M., 1999. patients younger than 40 years with gastric c arcinoma: *Helicobacter pylori*, genotype and associated gastritis phenotype. Cancer; 85: 2506-2511.
28. Segal, E.D.; Cha, J. and Lo, J., 1999. Altered states:involvement of phosph orylated cagA in the induction of host cellular growth changes by *Helicobacter pylori*. Proc Natl Acad Sci USA; 96: 14559-14564.
29. Stein, M.; Rappuoli, R. and Covacci, A., 2000. tyrosine phosphorylation of the *Helicobacter pylori* cagA antigen after cag-driven host cell translocation. Proc Natl Acad sci USA; 97: 1263-1268.
30. Uemura, N.; Okamoto, S. and Yamamoto, S., 2001. *Helicobacter pylori* infection and the development of gastric cancer.N Engl Jmed; 345: 784-789.
31. Van Doorn L.J.; Figueiredo, C. and Sanna, R., 1998. clinical relevance of the cag A, vac A and ice A status of *Helicobacter pylori*. Gastroenterology; 115: 58-66.
32. Vandoorn, L.J.; Figueiredo, C. and Rossau, R., 1998. Typing of *Helicobacter pylori* vacA gene and detetion of cagA gene by PCR and reverse hybridization. J clin Microbiol; 36: 1271-1276.
33. Yamaoka, Y.; Kodama, T. and Gutierrez, 1999. Relationship between *Helicobacter pylori* iceA, cag A and vacA status and clinical outcome: studies in four different countries. J Clin Microbiol; 37: 2274- 2279.